

order of magnitude ought to be correct, however. The final  $R$  value obtained was 0.114. No attempt was made to refine anisotropic thermal parameters. A more detailed report also containing structure factors and powder data, will be given in *Acta Chem. Scand.*

The atomic positions in a c.c.p. layer and in an h.c.p. layer are represented in Fig. 1. Interatomic distances are summarized in Table 1. There are no Y-Y contacts in the structure.

Table 1. *Interatomic distances in  $\text{YAl}_3$*

Atom	Neighbour	Number of neighbours	Distance
Y(1)	Al(1)	6	3.09 <sub>8</sub> Å
Y(1)	Al(2)	6	3.09 <sub>7</sub>
Y(2)	Al(1)	3	3.02 <sub>3</sub>
Y(2)	Al(2)	3	3.03 <sub>0</sub>
Y(2)	Al(2)	6	3.10 <sub>7</sub>
Al(1)	Al(1)	4	3.09 <sub>8</sub>
Al(1)	Al(2)	4	2.88 <sub>9</sub>
Al(1)	Y(1)	2	3.09 <sub>8</sub>
Al(1)	Y(2)	2	3.02 <sub>3</sub>
Al(2)	Al(1)	2	2.88 <sub>9</sub>
Al(2)	Al(2)	2	3.49 <sub>8</sub>
Al(2)	Al(2)	2	2.69 <sub>7</sub>
Al(2)	Al(2)	2	2.81 <sub>8</sub>
Al(2)	Y(1)	1	3.09 <sub>7</sub>
Al(2)	Y(2)	1	3.03 <sub>0</sub>
Al(2)	Y(2)	2	3.10 <sub>7</sub>

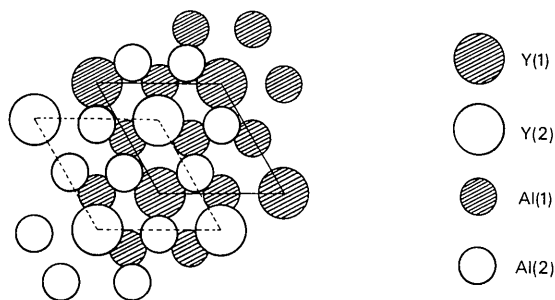


Fig. 1. Two superposed  $\text{YAl}_3$  layers.

Open circles: h.c.p. layer  $z_{\text{Al}}=0.111$   $z_{\text{Y}}=0.115$ .

Filled circles: c.c.p. layer  $z_{\text{Al}}=z_{\text{Y}}=0$ .

The Al(2) positions deviate from ideal h.c.p. positions which are at the centres of the broken lines.

*Acta Cryst.* (1966). **20**, 920

**Über trigonale Doppelsenenate.** Von W. FRANKE, Freie Universität Berlin, Mineralogisches Institut, Berlin - Licherfelde - West, Holbeinstrasse 45, Deutschland

(Eingegangen am 26 November 1965)

Die Anhydrate der Alaune kristallisieren meist trigonal, wahrscheinliche Raumgruppe  $P321$  ( $D_3^2$ ), Zahl der Formeleinheiten in der Elementarzelle = 1 (Vegard & Maurstad, 1928; Franke & Henning, 1965.) Entsprechende Doppelsenenate wurden bisher noch nicht untersucht. Die allgemeine Formel lautet:  $A^+B^{3+}(\text{SeO}_4)_2$  (mit A : Cs, Rb, Tl, NH<sub>4</sub>, K und B : Al, Ga, Cr, Fe, In.)

Die den angegebenen Kationenkombinationen entsprechenden Verbindungen wurden durch thermischen Abbau der Alaune dargestellt. Wasserfreie Doppelsenate,

die c.c.p. Schichten bei  $z=0$ ,  $z=\frac{1}{3}$  und  $z=\frac{2}{3}$  sind exakt planar, unterliegen Raumgruppenanforderungen. Die Anordnung von Al(1) um Y(1) in diesen Schichten ist perfekt hexagonal, was zu einer recht langen Al(1)-Al(1) Distanz führt, die gleich der Y(1)-Al(1) Distanz ist.

Die Aluminiumstruktur der h.c.p. Schichten ist planar. Diese Schichten treten bei  $z=\frac{1}{6}$ ,  $z=\frac{2}{3}$ ,  $z=\frac{4}{3}$  etc. innerhalb der Genauigkeit der Feinabstimmung auf. Ein Yttriumatom in einer solchen Schicht ist verschoben, so dass die Kontaktierung mit einem Aluminiumtriangle erweitert wird, die Al(2)-Al(2) Distanz beträgt 3.50 Å. Die restlichen Al(2)-Al(2) Distanzen innerhalb der h.c.p. Schicht sind kurz, 2.70 Å, im Vergleich zur Kontakt Distanz, 2.86 Å, im reinen Element.

Die Koordination von Al um Y(1) ist recht regulär, alle zwölf Y-Al Distanzen sind gleich 3.10 Å.

Um Y(2) gibt es sechs lange, 3.11 Å, Y(2)-Al(2) Kontakte innerhalb der h.c.p. Schicht. Die restlichen sechs Y(2)-Al Distanzen, von denen drei Y(2)-Al(1) und drei Y(2)-Al(2) sind, sind kurz und annähernd gleich, ~3.03 Å. Die mittlere Y(2)-Al Distanz ist 3.07 Å.

Ein neuer Artikel (Runnalls & Boucher, 1965) berichtet über eine teilweise Feinabstimmung des Strukturen von  $\text{PuAl}_3$ , das isotypisch mit  $\text{YAl}_3$  ist. In diesem Fall ist  $z_{\text{Pu}}=0.2185$  gegeben, was die Abweichung vom idealen dichten Packungszustand von gleichen Sphären zeigt. In  $\text{PuAl}_3$ , jedoch, sind die h.c.p. Al-Schichten als verschoben von den idealen  $z(1/9, 2/9 \text{ etc.})$  angenommen, um eine gleiche Verformung der Koordination um Pu(1) und Pu(2) zu produzieren.

Die gleiche Strukturart wurde für  $\text{Ta}(\text{Pd}_{0.88}\text{Ru}_{0.12})_3$  und  $\text{Ta}(\text{Pd}_{0.72}\text{Rh}_{0.28})_3$  beobachtet (Giessen & Grant, 1965). Keine Feinabstimmung dieser Strukturen wurde berichtet.

Dieses Studium wurde von der Office, Chief of Research and Development, U.S. Department of Army, durch seine European Research Office finanziert. Die Autoren danken Prof. Arne Magnéli für wertvolle Diskussionen über dieses Werk.

#### References

- BRUZZONE, G. & FERRO RUGGIERO, A. (1962). *Rendiconti*, **33**, 465.  
 GIESSEN, B. C. & GRANT, N. J. (1965). *Acta Cryst.* **18**, 1080.  
 RUNNALS, O. J. C. & BOUCHER, R. R. (1965). *Acta Cryst.* **19**, 184.  
 VUCHT, J. H. N. VAN & BUSCHOW, K. H. J. (1964). *Philips Res. Repts.* **19**, 319.

deren zugehörige Alaune nicht existieren, wurden durch Eindunsten einer Lösung der jeweiligen Zusammensetzung bei 5°C und Tempern des Rückstandes bei 150°C gewonnen.

Alle Chromverbindungen waren röntgenamorph, bei Erhöhung der Abbautemperatur zerstörten sie sich.

Die Pulverdiagramme (Zählrohrdiffraktometer, Cu  $K\alpha$ , bzw. Fe  $K\alpha$ -Strahlung) der in Tabelle 1 aufgeführten Substanzen ließen sich einwandfrei trigonal indizieren. Ein Vergleich der Intensitätsverhältnisse und Gitterdaten zeigt, dass Doppelsulfate und Doppelsenenate isotyp sind.

Tabelle 1. Gitterkonstanten und Achsenverhältnisse

Formel	$a_0$	$c_0$	$c/a$
CsFe(SeO <sub>4</sub> ) <sub>2</sub>	5.043 Å	9.028 Å	1.790
RbFe(SeO <sub>4</sub> ) <sub>2</sub>	4.997	8.531	1.707
TlFe(SeO <sub>4</sub> ) <sub>2</sub>	5.012	8.486	1.693
NH <sub>4</sub> Fe(SeO <sub>4</sub> ) <sub>2</sub>	5.004	8.465	1.691
RbGa(SeO <sub>4</sub> ) <sub>2</sub>	4.907	8.592	1.750
TlGa(SeO <sub>4</sub> ) <sub>2</sub>	4.931	8.552	1.734
NH <sub>4</sub> Ga(SeO <sub>4</sub> ) <sub>2</sub>	4.919	8.518	1.731
RbAl(SeO <sub>4</sub> ) <sub>2</sub>	4.897	8.549	1.746
TlAl(SeO <sub>4</sub> ) <sub>2</sub>	4.884	8.495	1.739
NH <sub>4</sub> Al(SeO <sub>4</sub> ) <sub>2</sub>	4.892	8.470	1.731

Die  $d$ -Werte werden im *X-Ray Powder Data File* veröffentlicht.

*Acta Cryst.* (1966). **20**, 921

**Crystal data for 2-amino-6-hydroxypyridine.** By BRAHAMA D. SHARMA, Department of Chemistry, Oregon State University, Corvallis, Oregon 97331, U.S.A.

(Received 29 November 1965)

As a part of our interest in bases closely related to those found in nucleic acids we have examined crystals of 2-amino-6-hydroxypyridine, C<sub>5</sub>H<sub>6</sub>N<sub>2</sub>O, by the methods of X-ray diffraction. Acicular crystals, elongated along  $a$ , were obtained by recrystallization from ethanol. Crystal data, as determined from the analysis of rotation and Weissenberg (zero and upper level) photographs about  $a$  and  $b$  axes, are:

Triclinic

$$\begin{array}{ll} a = 4.85 \pm 2 \text{ \AA} & \alpha = 98^\circ \\ b = 9.30 \pm 3 & \beta = 91 \\ c = 13.57 \pm 5 & \gamma = 92 \end{array}$$

The density measured in methylchloroform and benzene mixture by the flotation method is 1.298 g.cm<sup>-3</sup>. Calculated density for four (C<sub>5</sub>H<sub>6</sub>N<sub>2</sub>O · ½H<sub>2</sub>O) formula units per unit cell is 1.306 g.cm<sup>-3</sup>. Presence of water of crystallization was also confirmed by elementary analyses (Found: C, 51.23; H, 6.22; N, 22.71 %. Required: C, 50.42; H, 5.88; N, 23.53 %), and drying of the recrystallized material.

Die Volumeninkremente sind von gleicher Größenordnung wie bei den Doppelsulfaten und lassen sich analog erklären. Die Inkremente für den Übergang SeO<sub>4</sub>-SO<sub>4</sub> schwanken geringfügig um den Wert 15,4 · 10<sup>-24</sup> cm<sup>3</sup> pro Formeleinheit; den gleichen Wert fand auch Haussühl (1961) für die Alaune.

Der Deutschen Forschungsgemeinschaft danke ich für ihre finanzielle Unterstützung.

### Literatur

- FRANKE, W. & HENNING, G. (1965). *Acta Cryst.* **19**, 870.  
HAUSSÜHL, (1961). *Z. Kristallogr.* **116**, 371.  
VEGARD, L. & MAURSTAD, A. (1928). *Z. Kristallogr.* **69**, 519.

*Acta Cryst.* (1966). **20**, 921

**Note on reliability indices\*.** By GEORGE M. BROWN, Chemistry Division, Oak Ridge National Laboratory, Oak Ridge, Tennessee, U.S.A.

(Received 19 November 1965)

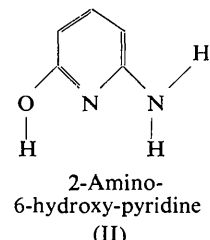
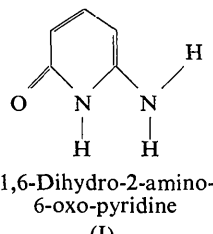
Continued use by crystallographers of the discrepancy indices (or residuals)  $R_k$  given by the equation

$$R_k \equiv \frac{\sum ||F|^k_o - |F|^k_c||}{\sum |F|^k_o} \quad (k = 1 \text{ or } 2) \quad (1)$$

justifies some remarks on  $R_k$  values from experience in this laboratory in neutron-diffraction analysis. We have found that for a set of  $|F|^2_o$  and  $|F|^2_c$  values at convergence

\* Research sponsored by the U.S. Atomic Energy Commission under contract with the Union Carbide Corporation.

Heavily exposed (72 hours, unfiltered radiation) Weissenberg photographs show a marked fall-off of intensity beyond a  $d$  value of 1 Å. No further crystallographic work on this compound, which is likely to have either of the tautomeric structures (I) and (II), is contemplated.



The author gratefully acknowledges the support, in part, by the donors of the Petroleum Research Fund, administered by the American Chemical Society and in part by the Research Council of the Graduate School, Oregon State University.

in least-squares refinement the index  $R_1$  may be as large as  $R_2$ , or even somewhat larger (Table 1). This finding has caused reactions among various crystallographic colleagues varying from mild surprise to incredulity, apparently because the usual result in X-ray analyses based on data recorded photographically is that  $R_1$  is about one-half of  $R_2$ .

It is helpful in considering the relation between  $R_1$  and  $R_2$  to define the fractional discrepancy  $f_k$  of an individual observation by the equation